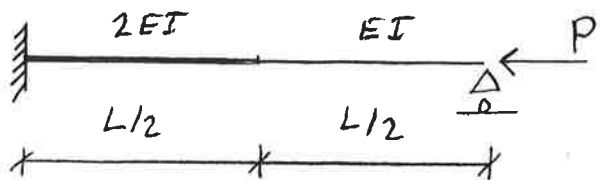
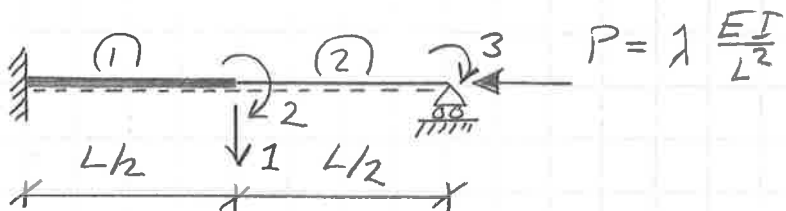


Määritä oheisen puristetun palkin kriittinen kuorma elementtimenetelmällä. Käytä kahta Eulerin-Bernoullin palkkielementtiä.



Jatkaan pilarii hahteen elementtihin
⇒ kolme vapausasteita



Saadaan yleistetty lineaarinen ominaisarvotekijä $\underline{K} \bar{x} = \lambda \underline{S} \bar{x}$, jossa \underline{K} on systeemin lineaarinen järkykysymatriisi ja $\lambda \underline{S}$ muodostaa systeemin geometrisen järkykysymatriisin.

Elementtikohtaiset matriisit Eulerin-Bernoullin palkkiteorian elementille ovat:

$$\underline{K}^{(e)} = \frac{EI}{\ell} \begin{bmatrix} 12/\ell^2 & 6/\ell & -12/\ell^2 & 6/\ell \\ 6/\ell & 4 & -6/\ell & 2 \\ -12/\ell^2 & -6/\ell & 12/\ell^2 & -6/\ell \\ 6/\ell & 2 & -6/\ell & 4 \end{bmatrix}$$

symm.

$$\underline{\lambda S}^{(e)} = \tilde{N}^{(e)} \begin{bmatrix} \frac{6}{5\ell} & \frac{1}{10} & -\frac{6}{5\ell} & \frac{1}{10} \\ \frac{2\ell}{15} & -\frac{1}{10} & -\frac{\ell}{30} & \\ \frac{6}{5\ell} & -\frac{1}{10} & \frac{2\ell}{15} & \end{bmatrix}$$

symm.

nyt $\tilde{N}^{(1)} = \tilde{N}^{(2)} = P$
 $= \lambda \frac{EI}{L^2}$

Vastaten palkallisia vapausasteita $\pi_1, \pi'_1, \pi_2, \pi'_2$

Elementtien palkallisten vapausasteiden ja rehanteen globaalien vapausasteiden välillä on seuraavat korimien riippuvuus:
(Merkit. globaalista vap. ast. $\delta_1, \delta_2, \delta_3$)

elem	1	2	3	4	← elem. poik. vap. ast.
1	-	-	1	2	
2	1	2	-	3	

Nyt globaaliksi matriisi alkuksi saadaan siiressä

$$K_{11} = K_{33}^1 + K_{11}^2 = \frac{8 \cdot 12}{L^3} \cdot 2EI + \frac{8 \cdot 12}{L^3} EI = 288 EI/L^3$$

$$K_{12} = K_{34}^1 + K_{12}^2 = -24 EI/L^2$$

$$K_{13} = K_{14}^2 = 24 EI/L^2$$

$$K_{22} = K_{44}^1 + K_{22}^2 = 16 EI/L + 8 EI/L = 24 EI/L$$

$$K_{23} = K_{24}^2 = 4 EI/L$$

$$K_{33} = K_{44}^2 = 8 EI/L$$

$$S_{11} = S_{33}^1 + S_{11}^2 = P \cdot \frac{24}{5L} = 7 \frac{24EI}{5L^3}$$

$$S_{12} = S_{34}^1 + S_{12}^2 = 0, \quad S_{13} = S_{14}^2 = \frac{P}{10} = 7 \frac{EI}{10L^2}$$

$$S_{22} = S_{44}^1 + S_{22}^2 = P \frac{2L}{15} = 7 \frac{2EI}{15L}$$

$$S_{23} = S_{24}^2 = -P \frac{L}{60} = -7 \frac{EI}{60L}, \quad S_{33} = S_{44}^2 = P \frac{L}{15} = 7 \frac{EI}{15L}$$

Eli matriisimuodossa kirjoitettuna

$$\frac{EI}{L} \begin{bmatrix} 288/L^2 & -24/L & 24/L \\ & 24 & 4 \\ \text{symm.} & & 8 \end{bmatrix} \begin{Bmatrix} \delta_1 \\ \delta_2 \\ \delta_3 \end{Bmatrix} = \frac{EI}{L} \begin{bmatrix} \frac{24}{5L^2} & 0 & \frac{1}{10L} \\ \frac{2}{15} & -\frac{1}{60} & \frac{1}{15} \\ 0 & 0 & 0 \end{bmatrix} \begin{Bmatrix} \delta_1 \\ \delta_2 \\ \delta_3 \end{Bmatrix}$$

Tästä voidaan ominaisarvot λ_i ja niiden vastavat ominaisvektorit ratkaista.

Jos merkitään $\tilde{\delta} = \delta/L$ saadaan systeemi käännökseen varten muotoon

$$\begin{bmatrix} 288 - 7 \frac{24}{5} & -24 & 24 - 7 \frac{1}{10} \\ & 24 - 7 \frac{2}{15} & 4 + 7 \frac{1}{60} \\ & & 8 - 7 \frac{1}{15} \end{bmatrix} \begin{Bmatrix} \tilde{\delta}_1 \\ \tilde{\delta}_2 \\ \tilde{\delta}_3 \end{Bmatrix} = \begin{Bmatrix} 0 \\ 0 \\ 0 \end{Bmatrix}$$

Jotkut kerätytmenen hinnaparametrin λ_{hr} arvo saadaan elholosta ehtivä hinnamatriisin determinaatin

on oltava nolla. $\Rightarrow \lambda_{kr} = 26.316$

Tutkiteen myös rätkäisen suppenemisista ja sitä kuin ka hängtäessä se näiden elementtimene selvittelevän rätkäisen virheellä arvioida ja probleemien tarkkaa rätkäistä eli extrapoloida numeroiden rätkäistä tuloksista.

Mikäli tunnetaan edeltävän hängtävän elementin suppenemisnopeus (rätkästeltävällä suurella) eli virheen asymptootisen pienennemisnopeus verhun tähännessä, joka oltava muoto

$$\text{virhe} \sim Ch^n$$

jossa C on positiivinen, n verhopyometri ($=$ suurimman elementin karakteristisen pituis) ja n on lysisiden suuren suppenemisnopeus, niin pääsemme arvio suurelle seuraavan laskemalla rätkintään kahdella eri elementtiyhöllä joiden tuloksista tarkkaa arvoa voi yritätä eli extrapoloida.

Rätkästeltävän erimerkkinä krukkien huomioimattain tarkien arvon eli extrapolointa. Elementtimene selvitävässä $\lambda_1 = \lambda(h_1)$ ja $\lambda_2 = \lambda(h_2)$ pääsee siihen

$$\begin{aligned}\lambda_1 &= \lambda_{ex} + Ch_1^n \\ \lambda_2 &= \lambda_{ex} + Ch_2^n\end{aligned}$$

Eliminoituna $C = (\lambda_1 - \lambda_{ex}) h_1^{-n}$ tulee myös virhe ja sijoitetaan tämä jolloin saadaan

$$\begin{aligned}\lambda_2 &= \lambda_{ex} + (\lambda_1 - \lambda_{ex}) \left(\frac{h_2}{h_1}\right)^n \\ \text{josta rätkäistään } \lambda_{ex} &= \frac{\lambda_2 - \lambda_1 \left(\frac{h_2}{h_1}\right)^n}{1 - \left(\frac{h_2}{h_1}\right)^n}\end{aligned}$$

Oheissa tuloksissa 2 ja 10 elementin vertailua laskettuna
(tasavälinen elem. jaksu)

2 elem

$$\begin{array}{ll} 1 & 26.316455 \\ 2 & 107.61133 \end{array}$$

10 elem

$$\begin{array}{ll} 1 & 25.184801 \\ 2 & 82.825679 \end{array}$$

Eulerin-Bernoulliin elementtin ominaisarvojen suppennusnopeus on $n=4$, ja nyt $h_1 = L/2$, $h_2 = L/10$
 $\Rightarrow h_2/h_1 = 1/5$

$$\text{Alimman omin. arvon extrapolointi arvo } \lambda_{ex}^1 = \frac{25.185 - 26.316 (\frac{1}{5})^4}{1 - (\frac{1}{5})^4}$$

$$= 25.1832$$

$$\text{Toisen omin. arvon extrapolointi arvo } \lambda_{ex}^2 = \frac{82.826 - 107.611 (\frac{1}{5})^4}{1 - (\frac{1}{5})^4} \\ = 82.786$$

Mikäli suppennusnopeus ei tiedetä voidaan johdta rajaalle extrapolointia L. Richardsonin extrapolointia.

Lasketaan nyt mojös. tulos 50 elementillä

$$\lambda^1 = 25.1831$$

$$\lambda^2 = 82.770$$

Sovelletaan extrapolointia vain alimman nurichlusnormien johdseen mukaisesti $\bar{h} = h/L$

$$\lambda_{00} = 26.316$$

$$\bar{h}_0 = \frac{1}{2}$$

$$\lambda_{10} = 25.185$$

$$\bar{h}_1 = \frac{1}{10}$$

$$\lambda_{20} = 25.183$$

$$\bar{h}_2 = \frac{1}{50}$$

$$\lambda_{ik} = \lambda_{i,k-1} + \frac{\lambda_{i,k-1} - \lambda_{i+1,k-1}}{\bar{h}_{i+k} - \bar{h}_i}$$

(ks. Numeriikan matkakirja siv 109)

$$\lambda_{11} = \lambda_{10} + \frac{\lambda_{10} - \lambda_{00}}{\frac{\bar{h}_0}{\bar{h}_1} - 1} = 24.90225$$

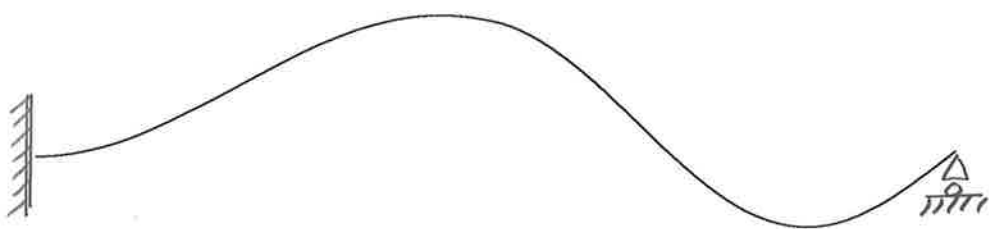
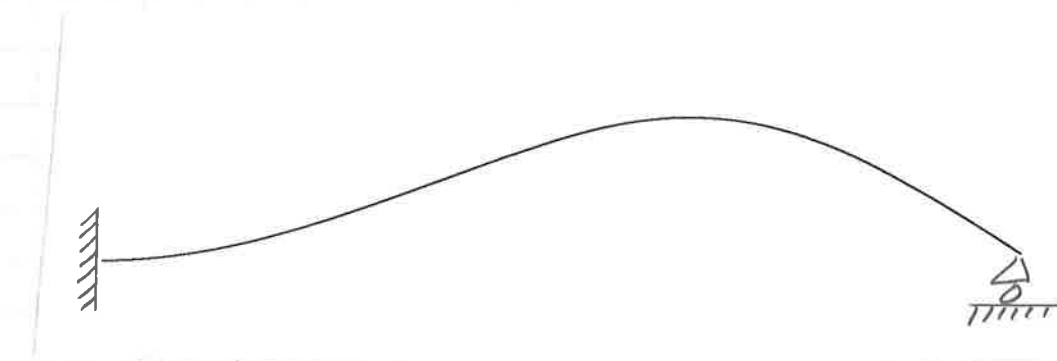
$$\lambda_{21} = \lambda_{20} + \frac{\lambda_{20} - \lambda_{10}}{\frac{\bar{h}_1}{\bar{h}_2} - 1} = 25.1825$$

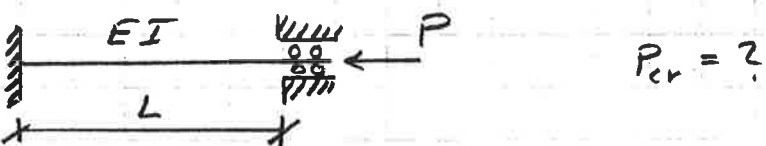
$$\lambda_{22} = \lambda_{21} + \frac{\lambda_{21} - \lambda_{11}}{\frac{h_0}{h_2} - 1} = 25.194$$

\Rightarrow Parannettu arvio kriittisellä kuormalla on
 $P_{kr} = 25.19 \text{ EI/L}^2$ jossa kuirkku on
 huonompi arvio kuin λ_{20} .

Pienimmin neljännen määritellyt värdeet
 myös soveltaa jolloin superemissioita on
 värdeet mistä istumisesta.

Nurjahuksimodot 1 ja 2 ovat seuraavat laitaa



H2.45

differenssimene telineällä.

$$v'''' + k^2 v'' = 0 \text{ korvataan differenssi-lausekkeella}$$

$$\frac{1}{h_i^4} (v_{i-2} - 4v_{i-1} + 6v_i - 4v_{i+1} + v_{i+2}) + \frac{k^2}{h_i^2} (v_{i-1} - 2v_i + v_{i+1}) = 0$$

otettuna pistessä i , $h_i = x_{i+1} - x_i$ on hilaväli $k^2 = \frac{P}{EI}$, saadaan differenssimolekyyli

$$(1) - (A-4) - (6-2\lambda) - (\lambda-4) - (1), \text{ missä } \lambda = k^2 h^2$$

$$1^\circ) \text{ kaksi hilaväliä } h = \frac{L}{2}$$

$$\text{RE: } v_0 = v_2 = 0 \\ v'_0 = 0 \Rightarrow v'_1 = v_1 \text{ ja } v'_2 = 0 \Rightarrow v_2 = v_1$$

$$\text{differenssiyhtälö pistessä 1: } v_1 + (6-2\lambda)v_2 + v_3 = 0$$

$$\Rightarrow (8-2\lambda)v_1 = 0 \Rightarrow v_1 = 0 \text{ suora t.s.p. tylä ei nurinhalusta}$$

$$\text{tai } 8-2\lambda = 0 \Rightarrow \lambda = 4 \Rightarrow \tilde{P}_{cr} = \frac{2EI}{h^2}, h = \frac{L}{2}$$

$$\Rightarrow \tilde{P}_{cr} = \frac{16EI}{L^2} \text{ (merkit. diff. orpr. saatua kriittisen laajaman arvoa } \tilde{P}_{cr} : 11\%)$$

$$\text{Analyyttinen teulos on } P_{cr} = 4\pi^2 \frac{EI}{L^2}$$

$$\Rightarrow sektorellinen virhe \epsilon_r = \frac{|P_{cr} - \tilde{P}_{cr}|}{P_{cr}} = 0,595 \text{ eli } 59,5\%$$

$$2^\circ) \text{ hilaväli } h = \frac{L}{4} \text{ (käytetään symmetriaa hyväksi)}$$

$$\text{RE: } v_0 = v_4 = 0, v_1 = v_5, v_2 = v_3 \\ \text{symmetria } v_3 = v_1$$

$$\text{piste 1: } v_1 + (6-2\lambda)v_2 + (\lambda-4)v_3 + v_4 = 0$$

$$\text{piste 2: } (\lambda-4)v_1 + (6-2\lambda)v_2 + (\lambda-4)v_3 + v_4 = 0$$

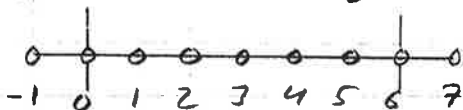
$$\Rightarrow \begin{bmatrix} 8-2\lambda & \lambda-4 \\ \lambda-4 & 3-\lambda \end{bmatrix} \begin{Bmatrix} v_1 \\ v_2 \end{Bmatrix} = \begin{Bmatrix} 0 \\ 0 \end{Bmatrix}$$

$$\text{eli: } K\bar{v} = \bar{0}, \text{ jotta ei triviaali ratkaisu } \Rightarrow \det K = 0$$

$$\Rightarrow \lambda^2 - 6\lambda + 8 = 0 \Rightarrow \lambda = 2 \vee \lambda = 4$$

$$\Rightarrow \tilde{P}_{cr} = \frac{32EI}{L^2} \Rightarrow \epsilon_r = 0,189 \text{ eli } 18,9\%$$

3°) hilavähi $h = \frac{L}{6}$



$$RE: v_0 = v_6 = 0, v_1 = v_5, v_2 = v_4$$

$$\text{symm. } v_3 = v_7, v_4 = v_6$$

$$\text{piste 1: } v_1 + (6-2\lambda)v_2 + (\lambda-4)v_3 + v_4 = 0$$

$$\text{piste 2: } (\lambda-4)v_1 + (6-2\lambda)v_2 + (\lambda-4)v_3 + v_5 = 0$$

$$\text{piste 3: } v_1 + (\lambda-4)v_2 + (6-2\lambda)v_3 + (\lambda-4)v_4 + v_5 = 0$$

$$\Rightarrow \begin{bmatrix} \lambda-2\lambda & \lambda-4 & 1 \\ \lambda-4 & \lambda-2\lambda & \lambda-4 \\ 1 & \lambda-4 & 3-\lambda \end{bmatrix} \begin{Bmatrix} v_1 \\ v_2 \\ v_3 \end{Bmatrix} = \begin{Bmatrix} 0 \\ 0 \\ 0 \end{Bmatrix} \text{ eli } \underline{\lambda} \leq \bar{\sigma} = 0$$

$$\det \underline{\lambda} = 0 \Rightarrow (\lambda-2\lambda)[(\lambda-2\lambda)(3-\lambda) - (\lambda-4)^2] - (\lambda-4)[(\lambda-4)(3-\lambda) - (\lambda-4)] + [(\lambda-4)^2 - (\lambda-2\lambda)] = 0$$

$$\Rightarrow -\lambda^3 + 8\lambda^2 - 19\lambda + 12 = 0$$

$$\Rightarrow (\lambda-1)(\lambda-2)(\lambda-4) = 0 \Rightarrow \lambda_{cr} = 1$$

$$\Rightarrow \tilde{P}_{cr} = \frac{76EI}{L^2} \Rightarrow \epsilon_r = 0,088 \text{ eli } 8,8\%$$

Suoritetaan nyt suppenemisnopeustarkastelu

Numeerisesta analyysistä tiedämme: $\|\epsilon\| = \|u - \tilde{u}\| \leq Ch^p$, (*) missä $\|\cdot\|$ on jokin normi (u =tarkkuus ratk., \tilde{u} läh. ratk.) ja C on rakkausrakenteen rippumaton vakio ja potenssi p ilmaisee suppenemisvaakulin (menetelmä, sitä parempi mitä suurempi p on; tietyn oskissaoppaan laskimia on kuitenkin olemassa sille ominaisinen suuri mahdollinen p . Jos p on suuri mahdollinen ko. approksimaatiotilalle, sen toteaa menetelmä optimalisoiduksi). h =verkkoparametri l. hilavähi.

Tarkastellaan nyt ko. tilanteelle piirtämällä edellä lasketut tulokset $(-\log \frac{h}{L}, \log |\epsilon_r|)$ koordinaatistoon, joista voidaan arvioida minimaalisen hilatarkkuuden, josta päästään 4%in tarkkuuteen keruussa teon mukaisesti \tilde{P}_{cr} .

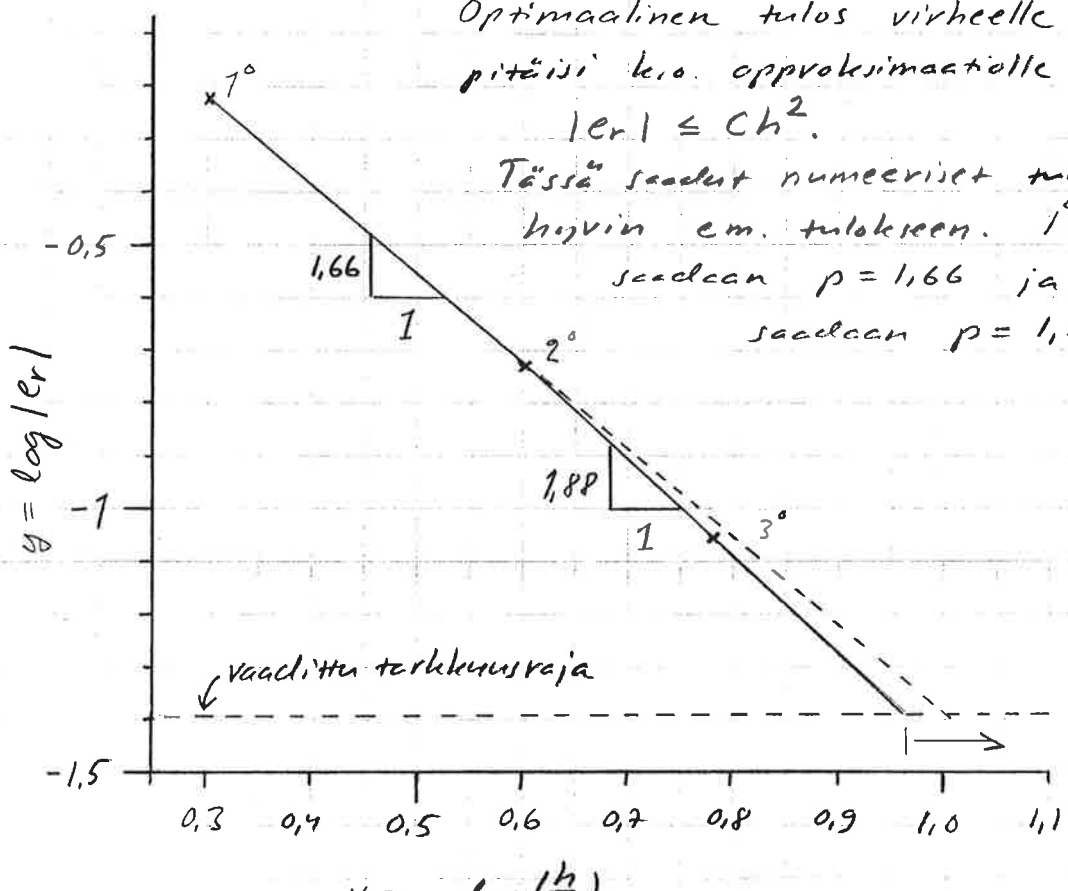
*) kyseessä on tietenkin asymptoottinen tulos, eli $\|\epsilon\| \leq Ch^p$ kun $h \rightarrow 0$

x	y		
h/L	$-\log(h/L)$	$\log er $	$ er $
1/2	0,301	-0,225	0,595
1/4	0,602	-0,724	0,189
1/6	0,778	-1,055	0,088
?	?	-1,398	0,04

← vaaditun tarkkuus 4%

Optimaalinen tulos virheelle $|er| = \frac{|P_{er} - \tilde{P}_{er}|}{|P_{er}|}$
pitäisi k.s. oppimateriaalle olla
 $|er| \leq Ch^2$.

Tässä saadaan numeriset tulokset yhtenäistä
tavalla em. tulokseen. 1° & 2° perustella
saadaan $p = 1,66$ ja 2° & 3° perust.
saadaan $p = 1,88$ (ks. oheinen
luvioso).



$$x = -\log\left(\frac{h}{L}\right)$$

vaaditun $y_v = -1,398$ $x_v = ?$ lin. ekstrapolaatio

$$y_v - y_1 = \frac{y_2 - y_1}{x_2 - x_1} (x_v - x_1) \Rightarrow x_v = x_1 + \frac{x_2 - x_1}{y_2 - y_1} (y_v - y_1)$$

1° & 2° perustella $x_v = 1,009$ eli $x > x_v \Rightarrow \frac{h}{L} < 10^{-x_v} = 0,098$
 $\Rightarrow \sim 10,2$ osaväliä"

2° & 3° perustella $x_v = 0,9604$ eli $x > x_v \Rightarrow \frac{h}{L} < 10^{-x_v} = 0,1096$
 $\Rightarrow \sim 9,1$ osaväliä

Edellä esitetyn perustella voitenee olettaa että $|er| \approx 0,04$
 kun saava jatkaan 9 osaväliä.

Laskettaessa eri hilaväleillä (verkossa) voidaan saada tieto datasta ekstrapolointia varten hyvin tarkka arvo kohdalle suurelle.

Sovelletaan alkeisiin rajalle ekstrapolointia l.

Richardson - ekstrapolointia.

$$\text{Merkitään } P = \lambda^{EI/L^2} \text{ ja } \bar{h} = \frac{h}{L}$$

$$\begin{array}{ll} \lambda_{00} = 16 & \bar{h}_0 = \frac{1}{2} \\ \lambda_{10} = 32 & \bar{h}_1 = \frac{1}{4} \\ \lambda_{20} = 36 & \bar{h}_2 = \frac{1}{6} \end{array} \quad \lambda_{ik} = \lambda_{i,k-1} + \frac{\lambda_{i,k-1} - \lambda_{i-1,k-1}}{\frac{\bar{h}_{i-k}}{\bar{h}_i} - 1}$$

(ks. Numerinen Matematiikka siv 109)

$$\lambda_{11} = \lambda_{10} + \frac{\lambda_{10} - \lambda_{00}}{\frac{\bar{h}_0}{\bar{h}_1} - 1} = 32 + \frac{32 - 16}{\frac{1/2}{1/4} - 1} = 48$$

$$\lambda_{21} = \lambda_{20} + \frac{\lambda_{20} - \lambda_{10}}{\frac{\bar{h}_1}{\bar{h}_2} - 1} = 36 + \frac{36 - 32}{\frac{1/4}{1/6} - 1} = 44$$

$$\lambda_{22} = \lambda_{21} + \frac{\lambda_{21} - \lambda_{11}}{\frac{\bar{h}_0}{\bar{h}_2} - 1} = 44 + \frac{44 - 48}{\frac{1/2}{1/6} - 1} = 42$$

\Rightarrow Parannettu arvio kriittiselle huomiotulle mukana $P_{cr} = 42 \frac{EI}{L^2}$
(virhe 6,38%)

Mikeli suppenemisnopeus tiedetään a priori voidaan siti tietoa kevytää hyväksi.

Jos siihen on $\sim Ch^p$, jossa $p=2$ on differenssimolekyylille, saadaan

$$er \sim Ch^p \Rightarrow P \sim P_{cr} + Ch^p$$

$$\Rightarrow \lambda \sim \lambda_{cr} + Ch^p$$

Jos p tunnetaan ovat C_{ij} joihin ratkaisutuvissa kunnetaan kohesi laskuravie (\bar{h}_1, λ_1) ja (\bar{h}_2, λ_2)

$$\text{Satz: } \bar{\lambda}_1 = \lambda_{cr} + C \bar{h}_1^p$$

$$\bar{\lambda}_2 = \lambda_{cr} + C \bar{h}_2^p$$

$$\Rightarrow C = \frac{\bar{\lambda}_2 - \bar{\lambda}_1}{\bar{h}_2^p - \bar{h}_1^p} \Rightarrow \lambda_{cr} = \bar{\lambda}_2 - \frac{\bar{\lambda}_2 - \bar{\lambda}_1}{\bar{h}_2^p - \bar{h}_1^p} \bar{h}_2^p$$

Scuelleteach mit probleemacmme $p=2$ ja

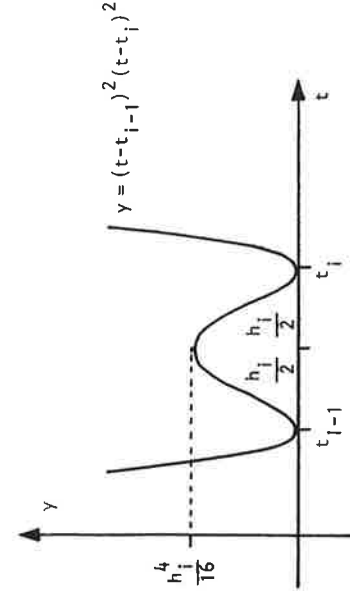
$$a) \quad \bar{\lambda}_1 = 16 \quad \bar{h}_1 = \frac{1}{2} \quad \bar{\lambda}_2 = 32 \quad \bar{h}_2 = \frac{1}{4} \quad \Rightarrow \lambda_{cr} = 32 - \frac{32-16}{(\frac{1}{4})^2 - (\frac{1}{2})^2} \left(\frac{1}{4}\right)^2$$

$$= 37 \frac{1}{3} \quad (\text{virhe } 5,44\%)$$

$$b) \quad \bar{\lambda}_1 = 32 \quad \bar{h}_1 = \frac{1}{4} \quad \bar{\lambda}_2 = 36 \quad \bar{h}_2 = \frac{1}{6} \quad \Rightarrow \lambda_{cr} = 36 - \frac{36-32}{(\frac{1}{6})^2 - (\frac{1}{4})^2} \left(\frac{1}{6}\right)^2$$

$$= 39 \frac{1}{5} \quad (\text{virhe } 0,70\%)$$

$$\text{sillä } \max |(t-t_{i-1})^2(t-t_i)^2| = \frac{h_i^4}{2} \text{ kuvion 2.5 perusteella.}$$



Kuva 2.5. Virhefunktio $(t-t_{i-1})^2(t-t_i)^2$ kuvaja.

Haluttu tulos saadaan kirjoittamalla $|x(t) - u_3(t)| = |x(t) - p_3(t)| + |p_3(t) - u_3(t)| \leq |x(t) - p_3(t)| + |p_3(t) - u_3(t)|$. Jälkimmäiselle erotukselle saadaan työlään laskun tuloksena arvio

$$|p_3(t) - u_3(t)| \leq \frac{1}{96} h_i^4 \|x\|_\infty, \text{ joten}$$

$$(2.81) \quad |x(t) - u_3(t)| \leq \frac{5}{384} h_i \|x\|_\infty.$$

Lisäämällä elementtiin lukumäärää saataan virhe pienemään ilman hankaloitua. Virhearviossa ei myöskään esiltynny kovin korkean kertaluvun derivaattoja.

2.3.6 RICHARDSONIN EKSTRAPOLOINTI

Yleensä Interpoloinnin virhe kasvaa nopeasti suureksi, jos siirrytään välin $[t_0, t_N]$ ulkopuolelle eli käytetään interpoloivaa funktiota ekstrapointtina.

Eriissä tilanteissa saattaa riippua parametrista h , esimerkiksi eratusosamäärä

$$D(h) = \frac{x(t+h) - x(t)}{h}$$

voidaan muodostaa eri arvoilla h , jos x :n arvot voidaan laskea. Jos käytetään suureen riippuvuuden parametrista on muotoa

$$D(h) = a_0 + a_1 h + a_2 h^2 + \dots + a_k h^k + R_{k+1}(h) \quad \text{ja}$$

$$a_0 = \lim_{h \rightarrow 0} D(h) \text{ on haettu tarkka tulos (jota ei voida suoraan laskea) ja kertoimet } a_i \text{ ovat } h:\text{sta riippumattomia ja jäännöstermi } R_{k+1}(h) = O(h^{k+1}) \text{ kyseeseen tuleville } k\text{-arvoille, voidaan eri } h_i\text{-arvoilla lasketuista } D(h_i)\text{-arvoista muodostaa } a_0\text{:lle uusi } D(h_i)\text{-arvoja tarkempi approksimaatio.}$$

Valitaan sopiva laskeseko jono h -arvoja $h_0 > h_1 > h_2 > \dots$. Esimerkiksi $h_i = r h_0$. Valinta $r = 1/2$ antaa ns. Rombergin jonoon. Pyöräistysvirheiden vaikutukseen vähentämiseksi ja laskentatyön pienentämiseksi käytetään usein myös ns. Bulirschin jonoa, jossa $h_i = \frac{1}{n_i} h_0$, $n_i = 2^{n_i-2}$, $n_1 = 2$, $n_2 = 3$.

Kutakin h_i -arvoa kohti lasketetaan luku $D_{i0} = D(h_i)$, $i = 0(1)M$. Näin tunnettaan funktiosta $D(h)$ sen arvoja eri argumentin arvoilla. Haettu suure on $D(0) = a_0$. Koska sitä ei voida suoraan laskea, approksimoidaan funktiota D interpolointipolynomilla $\tilde{D}_M(h) = \sum_{i=0}^M b_i h^i$, jolle pätee $\tilde{D}_M(h_i) = D_{i0}$. Tämän jälkeen valitaan $\tilde{D}_0(0)$ a:in approksimaatioksi.

Ratkaisu suoritetaan Nevillen algoritmin mukaisesti muodostamalla vaiheittain polynomit \tilde{D}_{ik} , joille pätee $\tilde{D}_{ik}(h_j) = D_{j0}$, $j = i-1, i$ ja etsimällä näiden arvot $D_{ik} = \tilde{D}_{ik}(0)$.

Kun laskenta järjestetään Nevillen algoritmin mukaisesti kaaviosi, ei itse polynomineja tarvitse länkäää muodostaa. Algoritumi ja kaavio saavat muodon:

$$D_{i0} = D(h_i), \quad i = 0(1)M$$

$$D_{ik} = D_{i,k-1} + \frac{D_{i,k-1} - D_{i-1,k-1}}{\frac{h_{i-k}}{h_i} - 1}, \quad 1 \leq k \leq i \leq M$$

$$\begin{matrix} h_0 & D_{00} & \\ h_1 & D_{10} & D_{11} \\ & \vdots & \ddots & D_{22} \\ h_2 & D_{20} & \vdots & \ddots & D_{MM} \\ \vdots & \vdots & \ddots & \ddots & D_{M2} \\ h_M & D_{M0} & & & \end{matrix}$$

Tauolukon muodostamisen merkitsee itse asiassa kertoimien a_i , $i = 1(1) \dots$

eliminoimista yhtälöryhmästä

$$\begin{aligned} D_{00} &= a_0 + a_1 h_0 + a_2 h_0^2 + a_3 h_0^3 + \dots \\ D_{10} &= a_0 + a_1 h_1 + a_2 h_1^2 + a_3 h_1^3 + \dots \\ D_{20} &= a_0 + a_1 h_2 + a_2 h_2^2 + a_3 h_2^3 + \dots \\ &\vdots \end{aligned}$$

vaiheittain.

Esimerkiks1 kahdesta ensimmäisestä yhtälöstä voidaan ratkaista

$$\begin{aligned} a_0 &= \frac{h_1 D_{00} - h_0 D_{10}}{h_1 - h_0} + a_2 \frac{h_1 h_0^2 - h_0 h_1^2}{h_0 - h_1} + \dots \\ &= D_{10} + \frac{D_{10} - D_{00}}{h_0 - h_1} + a_2 \frac{h_1 h_0^2 - h_0 h_1^2}{h_0 - h_1} + \dots = D_{11} + a_2 \frac{h_1 h_0^2 - h_0 h_1^2}{h_0 - h_1} + \dots \end{aligned}$$

Jos $h_1 = rh_0$, havaltaan, että $D_{11} = a_0 + \theta(h_0^2)$, kun $D_{00} = a_0 + \theta(h_0)$.

Yleisesti voidaan helposti laskea, että

$$D_{ik} - a_0 = \theta(h_{i-k}^{k+1}),$$

jos $a_i \neq 0$, $i = 0(1)k+1$. Lisäksi pätee

$$\lim_{i \rightarrow \infty} \frac{D_{i,k+1} - a_0}{D_{i,k} - a_0} = 0.$$

Tavalliseksi ekstrapolointi keskeytetään, kun M on jokin pieni kokonaisluku ($2 \dots 4$). Ekstrapoloinnin virheelle voidaan johtaa virhekaava Lagrangen interpoloinnin virhekaavan avulla ja käytää siitä hyväksi ekstrapoloinnin keskeyttämiseen, kun haluttu tarkkuus on saavutettu.

Ekstrapolointia voidaan soveltaa myös, jos $D(h)$:n sarjakehitelmä etenee h^2 :n potenssien mukaan (vaikka joka toinen $a_i = 0$) valitsemalla uusi muuttuja

tuja $z = h^2$, jonka kalkki potenssit ovat mukana sarjassa. Menetelmä on täällön erikoisen tähokas.

Rationaalisen ekstrapolointi syntyy, kun polynomien sijasta käytetään rationaalifunktioita approksimoimaan $D(h)$:ta.

Esimerkki 2.11. $D(h) = (1+h)^{1/h} = e + a_1 h + a_2 h^2 + \dots$, missä vakiot a_i eivät riipu h :sta. Valitaan $h_i = 2^{-i}$, $i = 0(1)3$, jolloin $D(h_i) = D_{10} = (1 + (0.5)^i)^{2^i}$. Ja $\frac{h_{i-k}}{h_i} = 2^k$, joten $D_{i,k-1} = D_{i,k-1} + \frac{D_{i,k-1} - D_{i-1,k-1}}{2^k - 1}$.

Saadaan tauolukko

$$\begin{matrix} i & D_{i0} & D_{i1} & D_{i2} & D_{i3} \\ \hline 0 & 2.0000 & & & \\ 1 & 2.2500 & 2.5000 & 2.6771 & \\ 2 & 2.4414 & 2.6328 & 2.7093 & \\ 3 & 2.5658 & & & \end{matrix}$$

Oikea likiarvo on $e \approx 2.7183$.

$\rightarrow E)$

2.3.7 MUIDEN FUNKTIOIDEN KÄYTÖKSET

Lineaarisen approksimaation $u(t) = \sum_{i=1}^N c_i \varphi_i(t)$ määritetään kertoiminek $\{c_i\}_{i=1}^N$ saadaan lineaarisesta yhtälöryhmästä

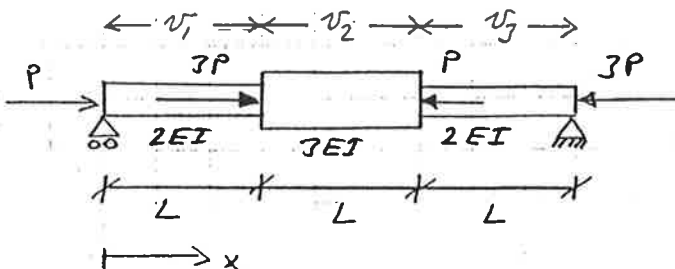
$$(2.82) \quad \sum_{i=1}^N \varphi_i(t_j) c_i = x_j, \quad j = 1(1)N,$$

joka on ryhmän (2.1) erikoistapaus. Koska tehtävä on kohdan 2.4 erikoistapauksessa, kertoimille c_i saadaan toinen ratkaisutapa luvussa 2.4.

Erikoisesti trigonometrisen interpolointi ratkeaa mielellävästi.

Interpolointi rationaalifunktioilla palautuu lineaariseksi tehtäväksi, sillä esimerkiksi $\sum_{i=0}^M \frac{c_i t_i^j}{1 + \sum_{i=1}^M d_i t_i^j} = x_j$, $j = 0(1)N+M$,

$$u(t_j) = \sum_{i=0}^N \frac{c_i t_i^j}{1 + \sum_{i=1}^M d_i t_i^j} = x_j, \quad j = 0(1)N+M,$$

H2.46

Systeemi : $\begin{cases} v_1'' + k_1^2 v_1'' = 0 & , 0 \leq x \leq L \\ v_2'' + k_2^2 v_2'' = 0 & , L \leq x \leq 2L \\ v_3'' + k_3^2 v_3'' = 0 & , 2L \leq x \leq 3L \end{cases}$

$$k_1^2 = \frac{P}{2EI} = \frac{1}{2} k^2 \quad (k = \frac{P}{EI})$$

$$k_2^2 = \frac{4P}{3EI} = \frac{4}{3} k^2$$

$$k_3^2 = \frac{7P}{2EI} = \frac{7}{2} k^2$$

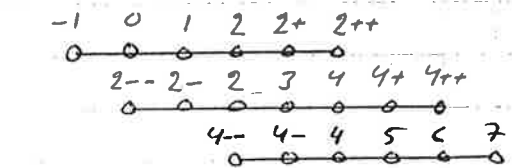
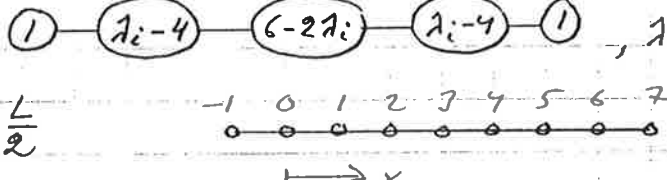
Differensialmolekyylit $(1) - A_i - 4 - (6-2A_i) - A_i - 4 - (1)$, $A_i = k_i^2 h^2$

lasketaan hilavälinä $h = \frac{L}{2}$

$$A_1 = \frac{1}{2} A, A = k^2 h^2 \text{ osalle 1:}$$

$$A_2 = \frac{4}{3} A$$

$$A_3 = \frac{3}{2} A$$



$$RE: v(0) = v(3L) = 0 \Rightarrow v_0 = 0 = v_6$$

$$v''(0) = v''(3L) = 0 \Rightarrow v_1 = -v_1 \text{ ja } v_2 = -v_2$$

piste 1: $-v_1 + (6-2A_i)v_1 + (A_i-4)v_2 + v_{2+} = 0$
 $\Rightarrow (5-7)v_1 + (\frac{1}{2}A-4)v_2 + v_{2+} = 0$

(1')

$v_{2+} = v_{2-}$ saadaan lausuttua teijumien v_i avulla, kun otetaan huomioon yht. sop. ehdot $v_1'(L) = v_2'(L)$ ja $EI_1 v_1''(L) = EI_2 v_2''(L)$

$$\Rightarrow \begin{cases} -v_1 + v_{2+} = -v_{2-} + v_3 \\ 2(v_1 - 2v_2 + v_{2+}) = 3(v_{2-} - 2v_2 + v_3) \end{cases} \Rightarrow \begin{bmatrix} 1 & 1 \\ -3 & 2 \end{bmatrix} \begin{Bmatrix} v_{2-} \\ v_{2+} \end{Bmatrix} = \begin{Bmatrix} v_1 + v_3 \\ -2v_1 - 2v_2 + 3v_3 \end{Bmatrix}$$

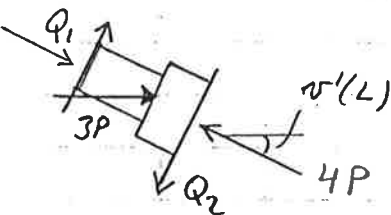
$$\Rightarrow \begin{Bmatrix} v_{2-} \\ v_{2+} \end{Bmatrix} = \frac{1}{5} \begin{bmatrix} 2 & -1 \\ 3 & 1 \end{bmatrix} \begin{Bmatrix} v_1 + v_3 \\ -2v_1 - 2v_2 + 3v_3 \end{Bmatrix} \Rightarrow \begin{cases} v_{2-} = \frac{1}{5}(4v_1 + 2v_2 - v_3) \\ v_{2+} = \frac{1}{5}(v_1 - 2v_2 + 6v_3) \end{cases}$$

piste 2: (osalle 1) $\therefore (\frac{1}{2}A-4)v_1 + (6-1)v_2 + (\frac{1}{2}A-4)v_{2+} + v_{2++} = 0$ (2')

piste 2: (osalle 2) $\therefore v_{2--} + (\frac{4}{3}A-4)v_{2-} + (6-\frac{8}{3}A)v_2 + (\frac{4}{3}A-4)v_3 + v_4 = 0$

$$\Rightarrow v_{2--} = (\frac{16}{5} - \frac{16}{15}A)(v_1 + v_3) + (\frac{32}{15}A - \frac{22}{5})v_2 - v_4$$

$v_{2-} - v_{2++}$ voidaan ratkaista
taipumien v_i avulla ottaen
toripainoschotan avulla (k edell. yhtälö)



$$Q_1 + 3Pv''(L) - Q_2 = 0$$

$$\Rightarrow -EI_1 v_1'''(L) + 3Pv_1''(L) = -EI_2 v_2'''(L)$$

$$\Rightarrow 2v_1'''(L) - 3k^2 v_1''(L) = 3v_2'''(L)$$

$$\Rightarrow 2(-v_0 + 2v_1 - 2v_{2+} + v_{2++}) - 3\lambda (-v_1 + v_{2+}) = -3(-v_{2-} + 2v_2 - 2v_3 + v_4)$$

$$\Rightarrow 3v_{2-} + 2v_{2++} = \left(\frac{6}{5} - \frac{12}{5}\lambda\right)v_1 + \left(\frac{4}{5} - \frac{6}{5}\lambda\right)v_2 + \left(-\frac{12}{5} + \frac{18}{5}\lambda\right)v_3 + 3v_4$$

$$\Rightarrow v_{2++} = \left(-4 + \frac{6}{15}\lambda\right)v_1 + \left(7 - \frac{12}{5}\lambda\right)v_2 + \left(-6 + \frac{57}{15}\lambda\right)v_3 + 3v_4$$

Nyt saatavaan yhtälöön (2')

$$(1 - \frac{44}{5})v_1 + (\frac{23}{5} - 10\lambda)v_2 + (9\lambda - \frac{54}{5})v_3 + 3v_4 = 0 \quad (2)$$

Jäljetekniikka yhtälöissä (1)

$$\left(\frac{26}{5} - 1\right)v_1 + \left(\frac{1}{2}\lambda - \frac{22}{5}\right)v_2 + \frac{6}{5}v_3 = 0 \quad (1)$$

piste 3: $\frac{1}{5}(4v_1 + 2v_2 - v_3) + \left(\frac{4}{3}\lambda - 4\right)v_2 + (6 - \frac{6}{5}\lambda)v_3 + \left(\frac{4}{3}\lambda - 4\right)v_4 + v_{4+} = 0$

Lausutaan v_{4-} ja v_{4+} taipumien v_i avulla, ottamalla huomioon yhtensopivuusschot $v_2'(2L) = v_3'(2L)$, ja $EI_2 v_2''(2L) = EI_3 v_3''(2L)$

$$\Rightarrow \begin{cases} -v_3 + v_{4+} = -v_{4-} + v_5 \\ 3(v_3 - 2v_4 + v_{4+}) = 2(v_{4-} - 2v_4 + v_5) \end{cases} \Rightarrow \begin{bmatrix} 1 & 1 \\ -2 & 3 \end{bmatrix} \begin{cases} v_{4-} \\ v_{4+} \end{cases} = \begin{cases} v_3 + v_5 \\ -3v_3 + 2v_4 + 2v_5 \end{cases}$$

$$\Rightarrow \begin{cases} v_{4-} \\ v_{4+} \end{cases} = \frac{1}{5} \begin{bmatrix} 3 & -1 \\ 2 & 1 \end{bmatrix} \begin{cases} v_3 + v_5 \\ -3v_3 + 2v_4 + 2v_5 \end{cases} \Rightarrow \begin{cases} v_{4-} = \frac{1}{5}(6v_3 - 2v_4 + v_5) \\ v_{4+} = \frac{1}{5}(-v_3 + 2v_4 + 4v_5) \end{cases}$$

\Rightarrow diff. yhtälö pistessä 7 on

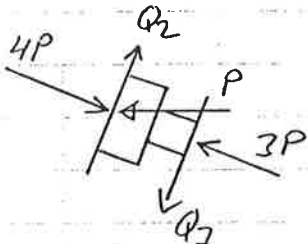
$$\frac{4}{5}v_1 + \left(\frac{4}{3}\lambda - \frac{18}{5}\right)v_2 + \left(\frac{28}{5} - \frac{8}{3}\lambda\right)v_3 + \left(\frac{4}{3}\lambda - \frac{18}{5}\right)v_4 + \frac{4}{5}v_5 = 0 \quad (3)$$

piste 4: (osalle 2) $v_2 + (\frac{4}{3}\lambda - 4)v_3 + (6 - \frac{8}{3}\lambda)v_4 + (\frac{4}{3}\lambda - 4)v_{4+} + v_{4++} = 0$

piste 4: (osalle 3) $v_{4-} + (\frac{3}{2}\lambda - 4)v_{4-} + (6 - 3\lambda)v_4 + (\frac{3}{2}\lambda - 4)v_5 + v_6 = 0$

$$\Rightarrow v_{4-} = (\frac{24}{5} - \frac{2}{5}\lambda)v_3 + (\frac{16}{5}\lambda - \frac{28}{5})v_4 + (\frac{24}{5} - \frac{2}{5}\lambda)v_5$$

v_{4++} voidaan lausua taipumisen
vaihtoavuuden tarkastelussa
pisteessä 4 tajapainoa oheisen
kuvaan muodostetaan



$$Q_2 - Pv'(2L) - Q_3 = 0$$

$$\Rightarrow -EI_2 v_2'''(2L) - Pv_2'(2L) = -EI_3 v_3'''(2L)$$

$$\Rightarrow 3(-v_2 + 2v_3 - 2v_{4+} + v_{4++}) + \lambda(-v_3 + v_{4+}) = 2(-v_{4-} + 2v_{4-} - 2v_5)$$

$$\Rightarrow v_{4++} = v_2 + (\frac{3}{2}\lambda - 2)v_3 - \frac{4}{3}v_5 + \frac{4}{3}v_4 - (\frac{2}{3}\lambda - 2)v_{4+} - \frac{2}{3}v_{4-}$$

$$= v_2 + (\frac{24}{15}\lambda - 4)v_3 + (\frac{16}{3} - \frac{38}{15}\lambda)v_4 + (\frac{14}{15}\lambda - \frac{8}{3})v_5$$

\Rightarrow differenssivauoske pisteessä 4:

$$2v_2 + (\frac{P}{3}\lambda - \frac{36}{5})v_3 + (\frac{146}{15} - \frac{14}{5}\lambda)v_4 + (2\lambda - \frac{88}{15})v_5 = 0 \quad (4)$$

piste 5: $v_{4-} + (\frac{3}{2}\lambda - 4)v_4 + (6 - 3\lambda)v_5 - v_6 = 0$

$$\Rightarrow \frac{6}{5}v_3 + (\frac{3}{2}\lambda - \frac{22}{5})v_4 + (\frac{26}{5} - 3\lambda)v_5 = 0 \quad (5)$$

Kootaan nyt yhtälöt + (1) ... (5) matriisimuotoon

$$\left[\begin{array}{c|ccccc|c} \frac{26}{5}\lambda - 1 & \frac{1}{2}\lambda - \frac{22}{5} & \frac{6}{5} & 0 & 0 & & v_1 \\ \hline 1 - \frac{44}{5} & \frac{73}{5} - 5\lambda & 4\lambda - \frac{57}{5} & 3 & 0 & & v_2 \\ 4 & 4 & 18 & 28 & 8 & 4 & v_3 \\ 5 & 5 & 5 & 3 & 3 & 5 & v_4 \\ 0 & 2 & \frac{8}{3}\lambda - \frac{36}{5} & \frac{146}{15} - \frac{14}{5}\lambda & 2\lambda - \frac{88}{15} & & v_5 \\ 0 & 0 & \frac{6}{5} & \frac{3}{2}\lambda - \frac{22}{5} & \frac{26}{5} - 3\lambda & & v_6 \end{array} \right] = \begin{pmatrix} 0 \\ 0 \\ 0 \\ 0 \\ 0 \\ 0 \end{pmatrix}$$

Lähetyksen merkittynä $\underline{K}\bar{\nu} = \bar{0}$, kerätytmen kuormaparametriksi saadaan ehdotus ellet $\underline{K} = 0$, joka johtaa yleistettyyn ominaisarvoprobleemian

$$\underline{K}_1 \bar{\nu} = \lambda \underline{K}_2 \bar{\nu} \quad (*)$$

jonka alin ominaisarvo λ_{\min} onnes kriittisen linjan

Nyt

$$\underline{K}_1 = \begin{bmatrix} 26/5 & -22/5 & 6/5 & 0 & 0 \\ -44/5 & 73/5 & -54/5 & 3 & 0 \\ 4/5 & -10/5 & 28/5 & -18/5 & 4/5 \\ 0 & 2 & -3/5 & 146/15 & -88/15 \\ 0 & 0 & 6/5 & -22/5 & 26/5 \end{bmatrix}$$

$$\underline{K}_2 = \begin{bmatrix} 1 & -\frac{1}{2} & 0 & 0 & 0 \\ -1 & 5 & -4 & 0 & 0 \\ 0 & -4/3 & 8/3 & -4/3 & 0 \\ 0 & 0 & -8/3 & 14/3 & -2 \\ 0 & 0 & 0 & -3/2 & 3 \end{bmatrix}.$$

Ratkaisuaan ominaisarvotekijästä pienellä ohjelmistolla (sivu 7), joka löytää NAG aliohjelmakirjastossa runtoria $F\phi 2BJF$, joka ratkaisee yleistettyyn ominaisarvotekijän reaalisille maträäsille \underline{K}_1 ja \underline{K}_2 .

$$\text{Alin ominaisarvo } \lambda_{\min} = 0,309361 \Rightarrow P_r = 1,2374 \frac{ET}{L^2}$$

nurjahdasmuoto l.

ominaisarvua λ_{\min}

vas teava

ominaisvektorit

$$\bar{\nu} = \left\{ \begin{array}{l} 0,262 \\ 0,462 \\ 0,566 \\ 0,535 \\ 0,734 \end{array} \right\}$$

Differenssimenetelmässä voidaan sovittaa myös sitten, että jatkuvaus- ja tasopainoehdot eivät huomioitella paljon kenttässä lehdissä, joissa on talventusjatkumisen tai puristavan voiman epäjatkuvuuksia. Koko palolle käytetään yhtälöä $v'''' + k_1^2 v'' = 0$, jossa k_1 on arvoksi epäjatkuuushohdossa käytettävän viereisten hilapisteiden korkeavuus (esim.). Hilapisteet voidaan myös valita sitten, ettei ne eivät ole ka. epäjatkuuushohdissa. Oheisen pistien laskelmissa jätetään tunnustatessaan tavarat paljon järkevämmillä ($=$ vähemmän työte).

Rakennusten nytt tehtävät ovat tällä hetkellä samat differenssihilää.

$$\begin{aligned} \text{piste 1: } \lambda_1 &= \frac{1}{2}\lambda \\ 2: \quad \lambda_2 &= \frac{1}{2}\left(\frac{1}{2}\lambda + \frac{4}{3}\lambda\right) = \frac{11}{12}\lambda \\ 3: \quad \lambda_3 &= \frac{4}{3}\lambda \\ 4: \quad \lambda_4 &= \frac{1}{2}\left(\frac{4}{3}\lambda + \frac{3}{2}\lambda\right) = \frac{17}{12}\lambda \\ 5: \quad \lambda_5 &= \frac{7}{2}\lambda \end{aligned}$$

Differenssyhtälöt:

$$\text{piste 1: } (5-\lambda)v_1 + \left(\frac{1}{2}\lambda - 4\right)v_2 + v_3 = 0$$

$$\text{piste 2: } \left(\frac{11}{12}\lambda - 4\right)v_1 + \left(6 - \frac{11}{6}\lambda\right)v_2 + \left(\frac{11}{12}\lambda - 4\right)v_3 + v_4 = 0$$

$$\text{piste 3: } v_1 + \left(\frac{4}{3}\lambda - 4\right)v_2 + \left(6 - \frac{8}{3}\lambda\right)v_3 + \left(\frac{4}{3}\lambda - 4\right)v_4 + v_5 = 0$$

$$\text{piste 4: } v_2 + \left(\frac{17}{12}\lambda - 4\right)v_3 + \left(6 - \frac{17}{6}\lambda\right)v_4 + \left(\frac{17}{12}\lambda - 4\right)v_5 = 0$$

$$\text{piste 5: } v_3 + \left(\frac{7}{2}\lambda - 4\right)v_4 + (5 - 3\lambda)v_5 = 0$$

Jos te saadaan taas omniaisia arvooprobleema $K_1 \bar{v} = \lambda K_2 \bar{v}$

$$\underline{K}_1 = \begin{bmatrix} 5 & -4 & 1 & 0 & 0 \\ -4 & 6 & -4 & 1 & 0 \\ 1 & -4 & 6 & -4 & 1 \\ 0 & 1 & -4 & 6 & -4 \\ 0 & 0 & 1 & -4 & 5 \end{bmatrix}$$

$$\underline{K}_2 = \begin{bmatrix} 1 & -\frac{1}{2} & 0 & 0 & 0 \\ -\frac{11}{12} & \frac{11}{6} & -\frac{11}{12} & 0 & 0 \\ 0 & -\frac{4}{3} & \frac{8}{3} & -\frac{4}{3} & 0 \\ 0 & 0 & -\frac{17}{12} & \frac{17}{6} & -\frac{17}{12} \\ 0 & 0 & 0 & -\frac{3}{2} & 3 \end{bmatrix}$$

Alin ominaisarvo on $\lambda_{cr} = 0,220265 \Rightarrow P_{cr} = 0,8811 \frac{EI}{L^2}$

Ominaisvektori:

$$\bar{\pi} = \begin{Bmatrix} 0,277 \\ 0,490 \\ 0,578 \\ 0,570 \\ 0,298 \end{Bmatrix}$$



Elementtimetodilla, keytöön koko palkille jo Timoshenkon palkkelementtiä, saadaan $P_{cr} = 1,232 EI/L^2$
Tulokseen pitäisi olla riippumaton elementtivertekosta johtuen minkä tarkkuus.